

医药与日化原料

## 大麻二酚类似物的合成及其抗氧化性和抑菌性

吴 淇<sup>1,2</sup>, 邹亮华<sup>3</sup>, 胡学一<sup>2</sup>, 夏咏梅<sup>1\*</sup>

(1. 江南大学 食品科学与技术国家重点实验室, 江苏 无锡 214122; 2. 江南大学 化学与材料工程学院, 江苏 无锡 214122; 3. 江南大学 药学院, 江苏 无锡 214122)

**摘要:** 以  $\alpha$ -水芹烯为烷基化试剂, 烷基酚为受体, 在三氯化铁催化下, 通过傅克烷基化反应合成了4种大麻二酚(CBD)的类似物(I~IV); 并以8,9-二氢大麻二酚(H2CBD)和2,2,8,9-四氢大麻酚(2,2,8,9-THC)为原料, 通过与有机溴化物的O-烷基化反应合成了另外8种CBD类似物(V~XII)。对CBD及其类似物的抗氧化活性及抑菌活性进行了测试。结果表明, 所合成化合物中, 仅2'-异丙基-5'-甲基-1',2'-二氢-3',4'-四氢-[1,1'-联苯]-2,4,6-三醇(类似物I)有抑菌性和抗氧化性。类似物I具有三羟基结构, 表现出比CBD更好的抗氧化能力, 其1,1-二苯基-2-三硝基苯肼(DPPH)和2,2'-联氮-双-3-乙基苯并噻唑啉-6-磺酸(ABTS)自由基清除的半最大效应浓度(EC<sub>50</sub>)分别是CBD的23.8%和25.1%, 略低于V<sub>C</sub>。类似物I对4种细菌均表现出较好的抑菌活性, 最小抑菌浓度均<100 μg/mL, 表明酚羟基的存在可能是CBD类似物具有抗氧化性和抑菌性的必要条件。

**关键词:** 大麻二酚;  $\alpha$ -水芹烯; 傅克烷基化; 抑菌性; 抗氧化性; 医药原料

中图分类号: TQ28 文献标识码: A 文章编号: 1003-5214(2022)03-0584-08

## Synthesis and antioxidant and bacteriostatic properties of cannabidiol analogs

WU Qi<sup>1,2</sup>, ZOU Lianghua<sup>3</sup>, HU Xueyi<sup>2</sup>, XIA Yongmei<sup>1\*</sup>

(1. State Key Laboratory of Food Science and Technology, Jiangnan University, Wuxi 214122, Jiangsu, China; 2. School of Chemical and Material Engineering, Jiangnan University, Wuxi 214122, Jiangsu, China; 3. School of Pharmaceutical Science, Jiangnan University, Wuxi 214122, Jiangsu, China)

**Abstract:** Four analogues of cannabidiol (CBD) were synthesized by Friedel-Crafts alkylation using  $\alpha$ -phellandrene as alkylation reagent, alkylphenols as nucleophilic receptor in the catalytic amount of ferric chloride. Other eight cannabinol analogues were synthesized from 8,9-dihydrocannabidiol and 2,2,8,9-tetrahydrocannabinol by O-alkylation with organic bromide compounds. The antioxidant and antibacterial activities of CBD and its analogues were tested. The results showed that among the synthesized compounds, only 2'-isopropyl-5'-methyl-1',2'-dihydro-3',4'-tetrahydro-[1,1'-biphenyl]-2,4,6-triol (analogue I) had antibacterial and antioxidant activities. Analogue I exhibited better antioxidative activity than CBD due to its trihydroxyl structure in the molecular. The concentration for 50% of maximum effect (EC<sub>50</sub>) of 1,1-diphenyl-2-picrylhydrazyl (DPPH) and 2,2'-azino-bis(3-ethylbenzothiazoline-6-sulfonic acid) (ABTS) free radical scavenging were 23.8% and 25.1% of that of CBD, respectively, even slightly lower than that of V<sub>C</sub>. Analogue I presented better antibacterial activity against four kinds of assayed bacteria and the minimum antibacterial concentrations were all lower than 100 μg/mL, indicating that the presence of phenolic hydroxyl might be a necessary condition for the antioxidant and bacteriostatic properties of CBD analogues.

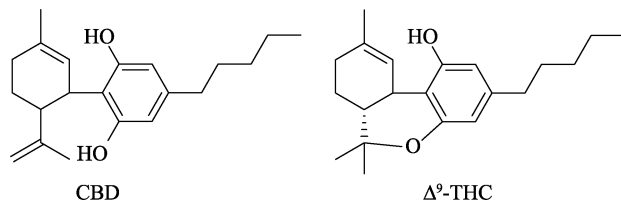
**Key words:** cannabinol;  $\alpha$ -phellandrene; Friedel-Crafts alkylation; antibacterial activity; antioxidant activity; drug materials

收稿日期: 2021-10-30; 定用日期: 2021-12-27; DOI: 10.13550/j.jxhg.20211112

基金项目: 江南大学食品科学与技术国家重点实验室开放项目(SKLF-KF-202005)

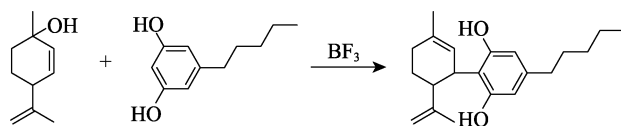
作者简介: 吴 淇(1997—), 男, 硕士生, E-mail: wuqi0518@163.com。联系人: 夏咏梅(1965—), 女, 教授, E-mail: ymxia@jiangnan.edu.cn。

大麻二酚(CBD)是大麻中含量最高的大麻素之一, 具有广泛的生物活性, 如抗氧化<sup>[1-2]</sup>、抑菌<sup>[3-5]</sup>和抗抑郁性<sup>[6-7]</sup>。CBD由于其抗氧化性和对细菌的抑制作用, 曾被用于特效护肤品中。然而, 由于CBD容易转化为有精神危害性的大麻素 $\Delta^9$ -四氢大麻酚( $\Delta^9$ -THC), 所以2021年起中国药监局禁止使用CBD, 其他地区和国家也有相应的限用政策<sup>[8]</sup>。CBD和 $\Delta^9$ -THC结构式如下所示:



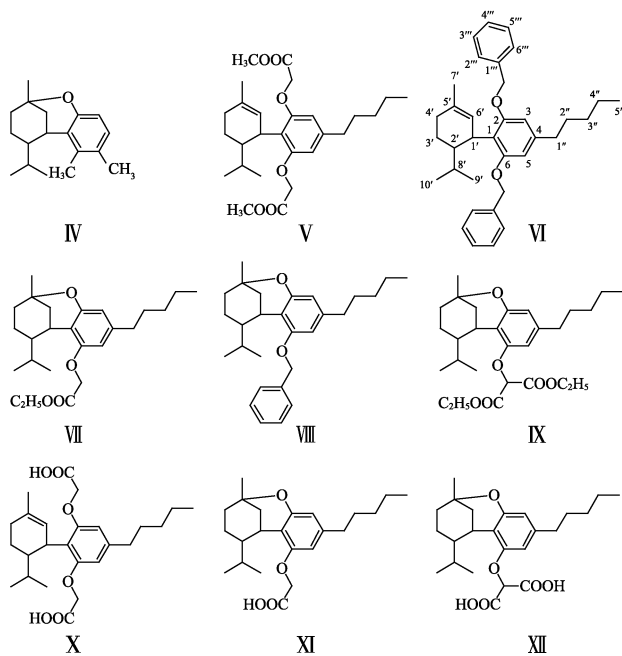
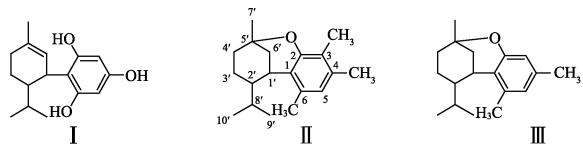
由于CBD对某些超级细菌如耐甲氧西林金黄色葡萄球菌有显著的抑菌作用<sup>[5]</sup>, 还可协同增强杆菌肽对革兰氏阳性菌的抑制作用〔最小抑菌浓度(MIC)降低64倍〕<sup>[4]</sup>, 因此CBD或可应对抗生素的耐药性。CBD的抗氧化性也较强, 其DPPH自由基清除能力强于 $\alpha$ -生育酚<sup>[9]</sup>, 与异硫氰酸酯也有协同抗氧化作用<sup>[10]</sup>。

CBD主要由植提获得, 而化学合成更有利于量产和纯化, 还便于构效关系研究, 以获得具有生物活性的新型CBD类似物。经典的CBD合成<sup>[11]</sup>为在三氟化硼催化下, 以对薄荷-2,8-二烯-1-醇与3,5-二羟基戊苯进行缩合, CBD收率为41%:



综上, 本实验以三氯化铁为催化剂, 从 $\alpha$ -水芹烯和几种常见酚出发, 制备CBD类似物I~IV; 再分别以CBD和 $\Delta^9$ -THC的类似物—8,9-二氢大麻二酚(H2CBD)和2,2,8,9-四氢大麻酚(2,2,8,9-THC)为原料, 通过O-烷基化反应, 制备CBD类似物V~XII。

所设计合成的12种目标化合物保留了CBD的部分骨架(结构式如下所示), 同时由于 $\alpha$ -水芹烯环外没有CBD的环外双键, 故而不会与酚羟基缩合生成类 $\Delta^9$ -THC。最后, 对照性研究CBD及其类似物的抗氧化和抑菌活性, 以探讨结构对其生物活性的影响。



## 1 实验部分

### 1.1 材料与仪器

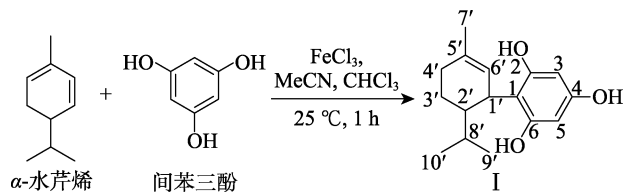
CBD(质量分数98%)、8,9-二氢大麻二酚(H2CBD, 质量分数98%)、2,2,8,9-四氢大麻酚(2,2,8,9-THC, 质量分数98%), 桂林莱茵生物科技股份有限公司; $\alpha$ -水芹烯(质量分数85%), 西格玛奥德里奇(上海)贸易有限公司; 大肠杆菌(CICC 20549)、金黄色葡萄球菌(CICC 23656)菌株、粪肠球菌(XQ 4318)和蜡状芽孢杆菌(XQ 3855), 中国工业微生物菌种保藏管理中心(CICC); 表没食子儿茶素没食子酸酯(EGCG, 质量分数98%), 杭州禾田生物技术有限公司; 抗坏血酸(V<sub>c</sub>, 质量分数99%), 中国东北制药有限公司; 其他化学品均购自中国上海国药集团化学试剂有限公司, 除特别说明, 所有化学品均为分析级。

Avance III 400 MHz核磁共振波谱仪, 德国布鲁克公司; MALDI SYNAPT质谱仪, 美国沃特世公司; SGWX-4型熔点仪, 上海精密科学仪器公司; T6新世纪紫外-可见分光光度计, 北京普析通用仪器公司; Synergy H4酶标仪, 美国伯腾仪器有限公司。

### 1.2 CBD类似物的合成

#### 1.2.1 类似物I~IV的合成

以类似物I的合成为例, 合成路线如下:



将间苯三酚 1.26 g (10 mmol)、三氯化铁 81 mg (0.05 mmol)、乙腈 (MeCN, 5 mL) 均匀分散在氯仿 (5 mL) 中。加入  $\alpha$ -水芹烯 1.36 g (10 mmol), 25 °C 下搅拌反应 1 h。粗产品经减压蒸馏除去溶剂, 用硅胶柱层析并梯度洗脱, 洗脱液为体积比 40 : 1~20 : 1 的石油醚和乙酸乙酯。以 TLC (展开剂为体积比 20 : 1 的石油醚和乙酸乙酯) 跟踪。从含有目标产物的洗脱液中得到 1.89 g 白色固体 I。

类似物 I (2'-异丙基-5'-甲基-1',2'-二氢-3',4'-四氢-[1,1'-联苯]-2,4,6-三醇): 白色固体, 收率 72%, 熔点: 259.6~262.4 °C。<sup>1</sup>H NMR (400 MHz, CDCl<sub>3</sub>),  $\delta$ : 6.23 (s, 2H, 3-H, 5-H), 5.93 (s, 2H, 2-OH, 6-OH), 5.48 (s, 1H, 6'-H), 3.74 (dd,  $J$  = 8.1、5.2 Hz, 1H, 1'-H), 2.39 (br s, 1H, 4-OH), 2.17~2.03 (m, 2H, 4'-H), 1.74 (s, 3H, 5'-甲基), 1.62~1.51 (m, 2H, 3'-H), 1.42~1.32 (m, 1H, 2'-H), 1.28~1.24 (m, 1H, 8'-H), 0.83 (d,  $J$  = 6.8 Hz, 6H, 9'-甲基, 10'-甲基)。<sup>13</sup>C NMR (101 MHz, CDCl<sub>3</sub>),  $\delta$ : 155.02 (C-4), 140.25 (C-2, C-6), 124.97 (C-5'), 109.67 (C-6'), 97.08 (C-1), 95.65 (C-3, C-5), 43.90 (C-2'), 35.21 (C-1'), 30.65 (C-4'), 27.76 (C-8'), 23.62 (C-3'), 22.09 (C-7'), 21.70 (C-9', C-10')。MS (ESI-TOF),  $m/z$ (C<sub>16</sub>H<sub>22</sub>O<sub>3</sub>): 测试值 262.16 [M-H]<sup>-</sup> (计算值 262.16)。

按照上述步骤, 将间苯三酚分别换成 2,3,5-三甲基苯酚、3,5-二甲基苯酚、3,4-二甲基苯酚, 60 °C 下反应分别得到类似物 II~IV。

类似物 II (2'-异丙基-5',3,4,6-四甲基-1',2'-二氢-3',4',6'-六氢-1',2-甲氧苯并[b]氧杂环辛三烯): 黄色油状物, 收率 58%。<sup>1</sup>H NMR (400 MHz, CDCl<sub>3</sub>),  $\delta$ : 6.41 (d,  $J$  = 2.7 Hz, 1H, 5-H), 3.10 (m,  $J$  = 3.2 Hz, 1H, 1'-H), 2.16~2.08 (m, 6H, 4-甲基, 6-甲基), 2.02 (d,  $J$  = 5.4 Hz, 3H, 3-甲基), 1.89~1.68 (m, 2H, 4'-H), 1.60~1.57 (m, 1H, 2'-H), 1.52~1.36 (m, 3H, 3'-H, 8'-H), 1.25 (s, 2H, 6'-H), 1.14~0.83 (m, 9H, 5'-甲基, 9'-甲基, 10'-甲基)。<sup>13</sup>C NMR (101 MHz, CDCl<sub>3</sub>),  $\delta$ : 153.42 (C-2), 133.59 (C-4), 130.55 (C-6), 121.56 (C-1), 120.93 (C-5), 119.12 (C-3), 43.45 (C-5'), 36.88 (C-2'), 34.24 (C-4'), 31.08 (C-6'), 29.78 (C-1'), 28.41

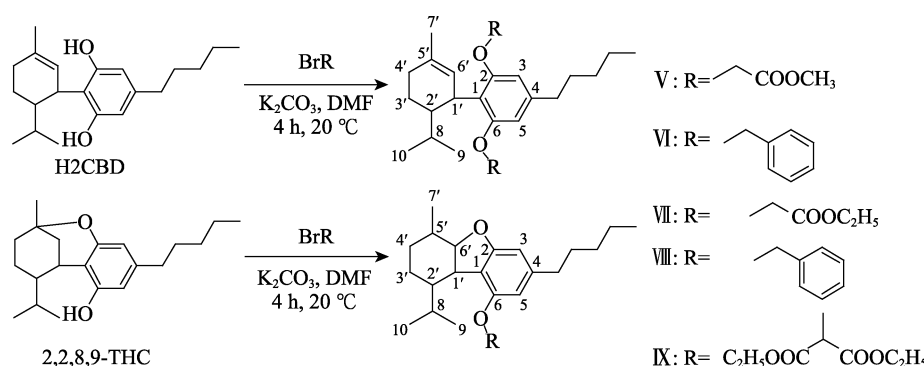
(C-8'), 25.84 (C-7'), 24.11 (C-9'), 23.26 (C-10'), 21.37 (C-4''), 18.78 (C-6''), 16.81 (C-3'), 11.13 (C-3'')<sup>1</sup> MS (ESI-TOF),  $m/z$ (C<sub>19</sub>H<sub>28</sub>O): 测试值 272.53 [M-H]<sup>-</sup> (计算值 272.43)。

类似物 III (2'-异丙基-5',4,6-三甲基-1',2'-二氢-3',4',6'-六氢-1',2-甲氧苯并[b]氧杂环辛三烯): 黄色油状物, 收率 52%。<sup>1</sup>H NMR (400 MHz, CDCl<sub>3</sub>),  $\delta$ : 6.42 (s, 2H, 3-H, 5-H), 3.11 (q,  $J$  = 3.1 Hz, 1H, 1'-H), 2.15 (d,  $J$  = 6.5 Hz, 6H, 4-甲基, 6-甲基), 1.85~1.74 (m, 2H, 4'-H), 1.66~1.60 (m, 1H, 2'-H), 1.48 (ddd,  $J$  = 13.2、8.0、5.0 Hz, 2H, 3'-H), 1.40~1.31 (m, 2H, 6'-H), 1.25 (s, 3H, 5'-甲基), 1.13~1.08 (m, 1H, 8'-H), 1.01 (d,  $J$  = 6.6 Hz, 3H, 9'-甲基), 0.87 (d,  $J$  = 6.5 Hz, 3H, 10'-甲基)。<sup>13</sup>C NMR (101 MHz, CDCl<sub>3</sub>),  $\delta$ : 155.51 (C-2), 135.43 (C-4), 134.09 (C-6), 121.65 (C-1), 120.86 (C-5), 112.58 (C-3), 72.93 (C-5'), 43.35 (C-2'), 33.94 (C-4'), 29.96 (C-6'), 29.48 (C-1'), 28.30 (C-8'), 25.27 (C-7'), 20.96 (C-9'), 20.12 (C-10'), 19.99 (C-4''), 19.32 (C-6''), 17.01 (C-3')<sup>1</sup> MS (ESI-TOF),  $m/z$ (C<sub>18</sub>H<sub>26</sub>O): 测试值 258.35 [M-H]<sup>-</sup> (计算值 258.40)。

类似物 IV (2'-异丙基-5',5,6-三甲基-1',2'-二氢-3',4',6'-六氢-1',2-甲氧苯并[b]氧杂环辛三烯): 黄色油状物, 收率 56%。<sup>1</sup>H NMR (400 MHz, CDCl<sub>3</sub>),  $\delta$ : 6.63 (s, 1H, 3-H), 6.51 (s, 1H, 4-H), 2.88 (d,  $J$  = 3.1 Hz, 1H, 1'-H), 2.08 (d,  $J$  = 8.2 Hz, 6H, 5-甲基, 6-甲基), 1.75~1.60 (m, 3H, 2'-H, 4'-H), 1.53~1.46 (m, 2H, 3'-H), 1.38 (dt,  $J$  = 7.1、3.3 Hz, 2H, 6'-H), 1.23 (s, 3H, 5'-甲基), 1.09~1.05 (m, 1H, 8'-H), 0.97 (d,  $J$  = 6.7 Hz, 3H, 9'-甲基), 0.85 (d,  $J$  = 6.5 Hz, 3H, 10'-甲基)。<sup>13</sup>C NMR (101 MHz, CDCl<sub>3</sub>),  $\delta$ : 153.49 (C-2), 134.39 (C-4), 127.96 (C-6), 125.71 (C-1), 123.80 (C-5), 114.92 (C-3), 73.24 (C-5'), 46.31 (C-2'), 34.16 (C-4'), 33.08 (C-6'), 29.84 (C-1'), 28.37 (C-8'), 25.24 (C-7'), 21.03 (C-9'), 20.23 (C-10'), 19.01 (C-5''), 18.52 (C-6''), 17.65 (C-3')<sup>1</sup> MS (ESI-TOF),  $m/z$ (C<sub>18</sub>H<sub>26</sub>O): 测试值 258.22 [M-H]<sup>-</sup> (计算值 258.20)。

### 1.2.2 类似物 V~XII 的合成

以类似物 V 和 X 的合成为例, 合成路线如下:



氮气保护下, 将 H2CBD 1.58 g (5 mmol)、溴代乙酸甲酯 2.29 g (15 mmol) 和 K<sub>2</sub>CO<sub>3</sub> 2.07 g (15

mmol) 均匀分散于 *N,N*-二甲基甲酰胺 (DMF, 5 mL) 中, 20 °C 下搅拌 4 h。过滤反应混合物, 滤液真空

浓缩。残余物溶解在乙酸乙酯中, 所得溶液用饱和碳酸氢钠水溶液洗涤3次, 无水 $\text{Na}_2\text{SO}_4$ 干燥, 过滤并真空浓缩, 得2.07 g淡黄色油状物V(收率90%)。按照上述步骤, 将溴代乙酸甲酯换成溴化苄制得化合物VI。将原料H2CBD换成2,2,8,9-THC, 分别与溴代乙酸乙酯、溴化苄、溴代丙二酸二乙酯, 在相同条件下, 制得化合物VII~IX。

进一步地, 将化合物V 1.15 g (2.5 mmol)溶于4 mL甲醇, 加入0.42 g KOH于35 °C下搅拌1 h。加入4 mL水终止反应, 再用盐酸酸化至pH 2, 用乙醚(3×5 mL)萃取, 无水硫酸钠干燥, 脱溶剂得1.04 g白色固体X(收率96%)。按照上述步骤, 将化合物V分别换成VII、IX, 分别得到化合物XI和XII。

类似物V [2'-异丙基-5'-甲基-4-戊基-1',2'-二氢-3',4'-四氢-[1,1'-联苯]-2,6-二基双(氧)二乙酸甲酯]: 淡黄色油状物, 收率90%。 $^1\text{H}$ NMR (400 MHz,  $\text{CDCl}_3$ ),  $\delta$ : 6.28 (s, 2H, 3-H, 5-H), 5.16 (s, 1H, 6'-H), 4.55 (s, 4H, 邻羰基亚甲基), 4.02~3.93 (m, 1H, 1'-H), 3.78 (s, 6H, 邻酯甲基), 2.60~2.44 (m, 2H, 4'-H), 2.21~2.07 (m, 2H, 3'-H), 2.00~1.91 (m, 1H, 2'-H), 1.77~1.71 (m, 1H, 8'-H), 1.69~1.12 (m, 14H, 5'-甲基, 戊基), 0.89 (t,  $J$ =6.9 Hz, 3H, 9'-甲基), 0.81 (d,  $J$ =5.1 Hz, 3H, 10'-甲基)。 $^{13}\text{C}$ NMR (101 MHz,  $\text{CDCl}_3$ ),  $\delta$ : 169.60 (C-羰基), 157.49 (C-2, C-6), 142.19 (C-4), 125.72 (C-1), 121.27 (C-3, C-5), 66.45 (C-5'), 52.04 (C-邻羰基亚甲基), 41.97 (C-2'), 36.14 (C-4'), 36.05 (C-1''), 31.53 (C-6'), 30.92 (C-3''), 30.86 (C-2''), 28.38 (C-1'), 23.46 (C-7'), 22.90 (C-4''), 22.54 (C-9', C-10'), 21.63 (C-3'), 16.14 (C-5''), 14.04 (C-邻酯甲基)。MS (ESI-TOF),  $m/Z(\text{C}_{25}\text{H}_{38}\text{O}_4)$ : 测试值402.27 [ $\text{M}-\text{H}$ ] (计算值402.28)。

类似物VI(2,6-双苄氧基-2'-异丙基-5'-甲基-4-戊基-1',2'-二氢-3',4'-四氢-1,1'-联苯): 淡黄色油状物, 收率80%。 $^1\text{H}$ NMR (400 MHz,  $\text{CDCl}_3$ ),  $\delta$ : 7.37~7.16 (m, 10H, 苯基), 6.38 (s, 2H, 3-H, 5-H), 5.17 (s, 1H, 6'-H), 4.93 (s, 4H, 邻醚亚甲基), 3.92 (s, 1H, 1'-H), 2.47 (d,  $J$ =15.7 Hz, 2H, 1''-H), 2.09~1.99 (m, 1H, 2'-H), 1.78 (s, 2H, 4'-H), 1.48 (s, 3H, 5'-甲基), 1.25 (s, 3H, 3'-H, 8'-H), 1.20 (d,  $J$ =12.4 Hz, 4H, 3''-H, 4''-H), 0.82 (t,  $J$ =7.0 Hz, 3H, 5''-甲基), 0.65 (dd,  $J$ =23.9、6.9 Hz, 6H, 9'-甲基, 10'-甲基)。 $^{13}\text{C}$ NMR (101 MHz,  $\text{CDCl}_3$ ),  $\delta$ : 156.21 (C-2), 154.41 (C-6), 140.92 (C-4), 136.65 (C-1''), 130.54, 127.26 (C-3'', C-5''), 126.45 (C-4''), 126.30 (C-2'', C-6''), 125.80 (C-1), 118.65 (C-3), 104.87 (C-5), 69.42 (C-5'), 40.54 (C-2'), 35.37 (C-4'), 35.06 (C-1''), 30.64 (C-6'), 29.95 (C-3''), 30.01 (C-2''), 29.78 (C-1'), 27.34 (C-7'), 22.35 (C-4''), 21.90 (C-9'), 21.56 (C-10'), 20.72 (C-3'), 15.40 (C-8'), 13.04 (C-5'')。MS (ESI-TOF),  $m/Z(\text{C}_{35}\text{H}_{44}\text{O}_2)$ : 测试值

496.47 [ $\text{M}-\text{H}$ ] (计算值496.33)。

类似物VII [2'-异丙基-5'-甲基-4-戊基-3',4',6'-六氢-2H-1',2-甲氧苯并[b]氧杂环-6-基(氧)乙酸乙酯]: 淡黄色油状物, 收率85%。 $^1\text{H}$ NMR (400 MHz,  $\text{CDCl}_3$ ),  $\delta$ : 6.36 (s, 1H, 5-H), 6.09 (s, 1H, 3-H), 4.68~4.53 (m, 2H, 邻羰基亚甲基), 4.28 (q,  $J$ =7.1 Hz, 2H, 邻醚亚甲基), 3.63~3.45 (m, 1H, 1'-H), 2.56~2.45 (m, 2H, 1''-H), 1.93~1.71 (m, 3H, 邻酯甲基), 1.64~1.55 (m, 4H, 3'-H, 6'-H), 1.50 (d,  $J$ =4.4 Hz, 1H, 2'-H), 1.37~1.28 (m, 12H, 4'-H, 8'-H, 2''~4''-H, 5'-甲基), 1.14 (d,  $J$ =6.6 Hz, 3H, 5''-甲基), 0.98~0.89 (m, 6H, 9'-甲基, 10'-甲基)。 $^{13}\text{C}$ NMR (151 MHz,  $\text{CDCl}_3$ ),  $\delta$ : 168.07 (C-羰基), 156.30 (C-2), 153.52 (C-6), 141.06 (C-4), 112.91 (C-1), 107.81 (C-3), 101.31 (C-5), 73.54 (C-5'), 64.70 (C-邻羰基亚甲基), 60.07 (C-邻酯亚甲基), 43.17 (C-2'), 35.11 (C-4'), 34.14 (C-1''), 30.56 (C-6'), 29.86 (C-3''), 29.51 (C-2''), 28.32 (C-1'), 26.70 (C-7'), 25.28 (C-4''), 21.53 (C-9'), 21.08 (C-10'), 20.04 (C-3'), 19.55 (C-8'), 13.19 (C-5''), 13.00 (C-邻酯甲基)。MS (ESI-TOF),  $m/Z(\text{C}_{25}\text{H}_{38}\text{O}_4)$ : 测试值402.27 [ $\text{M}-\text{H}$ ] (计算值402.28)。

类似物VIII (6-苄氧基-2'-异丙基-5'-甲基-4-戊基-1',2'-二氢-3',4',6'-六氢-2H-1',2-甲氧苯并[b]氧杂环): 淡黄色油状物, 收率80%。 $^1\text{H}$ NMR (400 MHz,  $\text{CDCl}_3$ ),  $\delta$ : 7.41~7.20 (m, 5H, 苯基), 6.24 (d,  $J$ =15.7 Hz, 2H, 3-H, 5-H), 5.00~4.88 (m, 2H, 邻醚亚甲基), 3.40 (d,  $J$ =2.7 Hz, 1H, 1'-H), 2.48~2.40 (m, 2H, 1''-H), 1.81~1.61 (m, 3H, 3'-H, 2'-H), 1.55~1.39 (m, 6H, 6'-H, 8'-H, 5'-甲基), 1.25 (q,  $J$ =5.2、4.2 Hz, 8H, 4'-H, 2''~4''-H), 0.90 (d,  $J$ =6.6 Hz, 3H, 5''-甲基), 0.85~0.78 (m, 6H, 9'-甲基, 10'-甲基)。 $^{13}\text{C}$ NMR (101 MHz,  $\text{CDCl}_3$ ),  $\delta$ : 156.21 (C-2), 154.41 (C-6), 141.14 (C-4), 136.62 (C-1''), 127.28 (C-3'', C-5''), 126.60 (C-4''), 126.16 (C-2'', C-6''), 112.56 (C-1), 107.17 (C-3), 101.68 (C-5), 73.39 (C-5'), 43.08 (C-2'), 35.20 (C-4'), 34.14 (C-1''), 30.62 (C-6'), 29.95 (C-3''), 29.60 (C-2''), 28.34 (C-1'), 26.82 (C-7'), 25.27 (C-4''), 21.56 (C-9'), 21.12 (C-10'), 19.93 (C-3'), 19.66 (C-8'), 13.02 (C-5'')。MS (ESI-TOF),  $m/Z(\text{C}_{28}\text{H}_{38}\text{O}_2)$ : 测试值406.27 [ $\text{M}-\text{H}$ ] (计算值406.29)。

类似物IX [2'-异丙基-5'-甲基-4-戊基-1',2'-二氢-3',4',6'-六氢-2H-1',2-甲氧苯并[b]氧杂环-6-基(丙二酸二乙酯): 淡黄色油状物, 收率90%。 $^1\text{H}$ NMR (400 MHz,  $\text{CDCl}_3$ ),  $\delta$ : 6.54 (d,  $J$ =1.2 Hz, 1H, 3-H), 6.40~6.29 (m, 1H, 5-H), 4.33~4.14 (m, 5H, 邻醚亚甲基, 邻羰基亚甲基), 3.46~3.39 (m, 1H, 1'-H), 2.45~2.38 (m, 2H, 1''-H), 1.81 (dd,  $J$ =13.3、2.6 Hz, 2H, 6'-H), 1.74~1.69 (m, 1H, 8'-H), 1.67~1.61 (m, 1H, 2'-H), 1.50 (d,  $J$ =3.6 Hz, 2H, 4'-H), 1.46~1.41 (m, 2H, 3'-H), 1.26 (d,  $J$ =3.3 Hz, 6H, 邻酯甲基), 1.19 (t,

$J = 7.1$  Hz, 6H, 2''~4''-H), 1.13~1.09 (m, 3H, 5'-甲基), 1.04 (d,  $J = 6.6$  Hz, 3H, 5''-甲基), 0.86 (d,  $J = 6.5$  Hz, 3H, 9'-甲基), 0.81 (t,  $J = 7.0$  Hz, 3H, 10'-甲基)。

$^{13}\text{CNMR}$  (101 MHz,  $\text{CDCl}_3$ ),  $\delta$ : 162.55 (C-羰基), 156.46 (C-6), 149.47 (C-4), 141.00 (C-1), 114.45 (C-3), 110.07 (C-2), 104.60 (C-5), 87.20 (C-邻羰基亚甲基), 73.72 (C-5'), 62.68 (C-邻酰亚甲基), 42.92 (C-2'), 34.86 (C-4'), 34.03 (C-1''), 30.32 (C-6'), 29.71 (C-3''), 29.27 (C-2''), 28.22 (C-1''), 26.95 (C-7'), 25.21 (C-4''), 21.50 (C-9'), 21.14 (C-10'), 19.82 (C-3'), 19.46 (C-8'), 13.00 (C-5''), 12.69 (C-甲酯)。MS (ESI-TOF),  $m/Z(\text{C}_{28}\text{H}_{42}\text{O}_6)$ : 测试值 474.43 [M-H]<sup>-</sup> (计算值 474.30)。

类似物 X [ 2'-异丙基-5'-甲基-4-戊基-1',2'-二氢-3',4'-四氢-[1,1'-联苯]-2,6-二基双(氧)二乙酸 ]: 白色固体, 收率 96%, 熔点: 229.1~232.4 °C。 $^1\text{HNMR}$  (400 MHz,  $\text{CDCl}_3$ ),  $\delta$ : 6.34 (s, 2H, 3-H, 5-H), 5.46 (s, 1H, 1H, 6'-H), 4.61 (s, 4H, 邻羰基亚甲基), 4.05 (d,  $J = 6.4$  Hz, 1H, 1'-H), 2.61~2.52 (m, 2H, 1''-H), 2.17 (s, 1H, 2'-H), 1.86 (d,  $J = 22.8$  Hz, 2H, 4'-H), 1.73 (s, 3H, 5'-甲基), 1.61 (p,  $J = 7.4$  Hz, 2H, 2''-H), 1.36 (s, 3H, 3'-H, 8'-H), 1.28 (s, 4H, 3''-H, 4''-H), 0.93 (s, 3H, 5''-甲基), 0.82 (d,  $J = 6.9$  Hz, 6H, 9'-甲基, 10'-甲基)。

$^{13}\text{CNMR}$  (151 MHz,  $\text{CDCl}_3$ ),  $\delta$ : 149.79 (C-羰基), 146.07 (C-2, C-6), 143.98 (C-4), 131.19 (C-1), 123.45 (C-3, C-5), 35.15 (C-5'), 34.63 (C-邻羰基亚甲基), 33.85 (C-2'), 33.51 (C-4'), 30.91 (C-1''), 30.60 (C-6'), 30.55 (C-3''), 30.45 (C-2''), 30.42 (C-1''), 29.18 (C-7'), 28.68 (C-4''), 28.38 (C-9', C-10'), 21.67 (C-3'), 12.61 (C-5'')。MS (ESI-TOF),  $m/Z(\text{C}_{25}\text{H}_{36}\text{O}_6)$ : 测试值 432.44 [M-H]<sup>-</sup> (计算值 432.56)。

类似物 XI [ 2'-异丙基-5'-甲基-4-戊基-3',4',6'-六氢-2H-1',2-甲氧苯并[b]氧杂环-6-基(氧)乙酸 ]: 白色固体, 收率 98%, 熔点: 185.9~188.6 °C。 $^1\text{HNMR}$  (400 MHz,  $\text{CDCl}_3$ ),  $\delta$ : 6.37 (s, 1H, 5-H), 6.10 (d,  $J = 1.1$  Hz, 1H, 3-H), 4.69~4.60 (m, 2H, 邻羰基亚甲基), 3.53~3.46 (m, 1H, 1'-H), 2.53~2.47 (m, 2H, 1''-H), 1.89 (dd,  $J = 13.2$ 、 $2.5$  Hz, 1H, 2'-H), 1.83~1.69 (m, 2H, 6'-H), 1.64~1.52 (m, 4H, 5'-甲基, 8'-H), 1.49 (dq,  $J = 14.1$ 、 $4.8$ 、 $4.2$  Hz, 2H, 3'-H), 1.36~1.28 (m, 8H, 4'-H, 2''~4''-H), 1.10 (d,  $J = 6.6$  Hz, 3H, 5''-甲基), 0.94 (d,  $J = 6.5$  Hz, 3H, 9'-甲基), 0.91~0.87 (m, 3H, 10'-甲基)。

$^{13}\text{CNMR}$  (101 MHz,  $\text{CDCl}_3$ ),  $\delta$ : 173.36 (C-羰基), 156.39 (C-2), 153.12 (C-6), 141.24 (C-4), 112.92 (C-1), 108.21 (C-3), 101.39 (C-5), 73.64 (C-5'), 64.11 (C-邻羰基亚甲基), 43.26 (C-2'), 35.08 (C-4'), 34.08 (C-1''), 30.55, (C-6') 29.86 (C-3''), 29.46 (C-2''), 28.27 (C-1''), 26.77 (C-7'), 25.26 (C-4''), 21.52 (C-9'), 21.06 (C-10'), 19.95 (C-3''), 19.53 (C-8''), 13.00 (C-5'')。MS (ESI-TOF),  $m/Z(\text{C}_{23}\text{H}_{34}\text{O}_4)$ : 测试值 374.42 [M-H]<sup>-</sup> (计算值 374.25)。

类似物 XIII [ 2'-异丙基-5'-甲基-4-戊基-1',2'-二氢-3',4',6'-六氢-2H-1',2-甲氧苯并[b]氧杂环-6-基(氧)丙二酸 ]: 白色固体, 收率 99%, 熔点: 242.7~245.4 °C。 $^1\text{HNMR}$  (400 MHz,  $\text{CDCl}_3$ ),  $\delta$ : 6.46 (d,  $J = 9.5$  Hz, 1H, 5-H), 6.31 (s, 1H, 3-H), 3.69 (s, 1H, 邻羰基次甲基), 3.49 (s, 1H, 1'-H), 2.59~2.37 (m, 2H, 1''-H), 1.79 (t,  $J = 2.9$  Hz, 1H, 2'-H), 1.72~1.61 (m, 2H, 6'-H), 1.45 (s, 3H, 5'-甲基), 1.33 (s, 2H, 3'-H), 1.26 (m, 8H, 4'-H, 2''~4''-H), 1.01 (dd,  $J = 7.2$ 、 $5.3$  Hz, 3H, 5''-甲基), 0.86 (d,  $J = 2.1$  Hz, 3H, 9'-甲基), 0.80 (d,  $J = 3.8$  Hz, 3H, 10'-甲基)。 $^{13}\text{CNMR}$  (101 MHz,  $\text{CDCl}_3$ ),  $\delta$ : 166.79 (C-羰基), 156.31 (C-6), 149.76 (C-4), 141.39 (C-1), 114.37 (C-3), 109.76 (C-2), 105.72 (C-5), 97.79 (C-邻羰基次甲基), 73.71 (C-5'), 52.32 (C-4'), 51.08 (C-2'), 42.96 (C-1''), 34.83 (C-6'), 34.00 (C-3''), 30.39 (C-2''), 29.79 (C-1''), 29.41 (C-7'), 28.24 (C-9'), 25.21 (C-9, C-10'), 21.48 (C-3'), 19.50 (C-8'), 12.99 (C-5'')。MS (ESI-TOF),  $m/Z(\text{C}_{24}\text{H}_{34}\text{O}_6)$ : 测试值 418.41 [M-H]<sup>-</sup> (计算值 418.24)。

### 1.3 CBD 类似物抗氧化活性的测定

#### 1.3.1 DPPH 自由基清除率

将 100  $\mu\text{L}$  不同质量浓度的样品溶液和 100  $\mu\text{L}$  0.06 mmol/L 的 DPPH 工作液依次加入 96 孔板中, 于 30 °C 下反应 30 min (80 °C 下的测定值系样品在 80 °C 水浴中反应 30 min)。然后测定溶液在 517 nm 处的吸光度, 计算清除率<sup>[12-13]</sup>:

$$\text{DPPH 自由基清除率}/\%=[1-(A-A_1)/A_0]\times 100 \quad (1)$$

其中:  $A$ 、 $A_1$  和  $A_0$  分别为样品、无水乙醇对照和空白对照 (不含样品) 的吸光度。

#### 1.3.2 ABTS 自由基清除率

将 ABTS 水溶液 (7 mmol/L) 和过硫酸钾水溶液 (45 mmol/L) 按体积比 1:2 混匀, 避光静置 15 h。将混合液用甲醇制成 734 nm 下吸光度为 0.70±0.02 的 ABTS 工作液。将 20  $\mu\text{L}$  不同质量浓度的样品溶液和 200  $\mu\text{L}$  ABTS 工作液依次加入 96 孔板中, 30 °C 下反应 10 min。测定溶液在 734 nm 处的吸光度, 计算清除率<sup>[14]</sup>:

$$\text{ABTS 自由基清除率}/\%=(1-A/A_0)\times 100 \quad (2)$$

其中:  $A$  和  $A_0$  分别为样品和空白对照 (不含样品) 的吸光度。

#### 1.3.3 铁离子还原能力

铁离子还原能力的评价<sup>[15]</sup>: 在 2 mL 质量浓度 0.1 g/L 样品溶液 (溶剂为 0.2 mol/L 磷酸盐缓冲液, pH 6.6) 中加入 2 mL 质量分数为 1% 的铁氰化钾溶液, 在 50 °C 下放置 20 min; 然后加入 2 mL 质量分数为 10% 的三氯乙酸水溶液, 混匀后在 4000 r/min 下离心 10 min; 取 2 mL 上清液, 加入 2 mL 去离子

水和0.4 mL质量分数为0.1%三氯化铁水溶液,于50 °C水浴中放置10 min, 测定溶液在700 nm处的吸光度。

### 1.3.4 抗脂质过氧化能力

抗脂质过氧化能力的评价<sup>[16]</sup>: 在0.15 mL质量浓度为2 g/L的过氧化氢水溶液中加入0.5 mL橄榄油-乙醇溶液(两者质量比为1:3), 加入1 mL质量浓度0.1 g/L的样品乙醇溶液和2 mL质量分数0.2%的硫代巴比妥酸溶液于37 °C下反应25 min; 然后加入2 mL质量分数为20%的三氯乙酸水溶液, 转移至90 °C水浴中显色30 min后冷却至室温, 加入1 mL三氯甲烷萃取有机相, 测定上层溶液在532 nm的吸光度, 其抑制率按式(3)计算:

$$\text{脂质过氧化抑制率}/\% = [1 - (A - A_1)/A_0] \times 100 \quad (3)$$

其中:  $A$ 、 $A_1$ 和 $A_0$ 分别表示样品、以去离子水代替过氧化氢溶液和以乙醇代替样品的吸光度。

### 1.3.5 黄嘌呤氧化酶(XOD)抑制能力

XOD抑制能力的评价<sup>[17]</sup>: 将2 mL不同质量浓度的样品(用0.2 mol/L磷酸盐缓冲液溶解,pH 7.5)、20 μL XOD(10 μmol/L)和1 mL黄嘌呤(6 mmol/L)加入到比色皿中, 分别读取0和60 s时295 nm处溶液的吸光度, 计算抑制率:

$$\text{XOD抑制率}/\% = (1 - \Delta A / \Delta A_0) \times 100 \quad (4)$$

其中:  $\Delta A$ 和 $\Delta A_0$ 分别为样品和空白对照的吸光度变化量;  $\Delta A = A_{60\text{ s}} - A_0$ 。

### 1.4 CBD类似物最小抑菌浓度(MIC)和最小杀菌浓度(MBC)的测定

MIC和MBC的测定<sup>[3,18]</sup>: 在无菌96孔板中, 每孔加入100 μL LB液体培养基后, 在第1孔中加入一定浓度的100 μL样品(二甲基亚砜为溶剂), 混匀后取100 μL加入第2孔中; 继续用二倍稀释法加样至相应各孔; 然后分别将100 μL细菌液( $1 \times 10^6$  CFU/mL)加入各样品孔, 再设置阴性对照(无药物)、空白(仅LB培养基200 μL)和阳性对照(盐酸四环素)孔; 将载样孔板于37 °C下培养24 h, 无细菌生长孔的药物最低浓度即为受试菌的MIC; 然后, 将以上96孔板的含药菌液接种于相应的培养基平板, 37 °C下继续培养24 h; 无细菌生长的药物浓度即为MBC。所有检测均为3次平行实验。

## 2 结果与讨论

### 2.1 反应温度对收率的影响

主要产物及其收率如表1所示。

依照傅克反应原理<sup>[19]</sup>, 推测大麻二酚类似物合成的反应机理为:  $\alpha$ -水芹烯经催化生成碳正离子, 再与酚类化合物发生烷基化反应。由于反应位点为酚羟基的邻位, II~IV为底物酚羟基与 $\alpha$ -水芹烯的

环内双键缩合的环化产物。酚原料中苯环上供电子基团的活性及数量越大, 烷基化反应速度越快且产物收率越高<sup>[20]</sup>。

表1中, 因为酚羟基的供电子能力大于甲基, 所以间苯三酚的苯环上电子云密度高于其他3个烷基酚, 这使得产物I在25 °C有较好的收率, 而单烷基酚室温下几乎不与 $\alpha$ -水芹烯反应。

类似物I的NMR数据见1.2.1节。类似物I的<sup>1</sup>H NMR中,  $\delta$  3.74(1H, 1'-H)双重峰和 $\delta$  5.48(1H, 6'-H)的单峰分别对应 $\alpha$ -水芹烯反应后环上取代位的氢(C-1')和烯烃的氢(C-6'); 同时反应后 $\alpha$ -水芹烯失去一对双键, 处于 $\delta$  5.80和5.90的多重峰和双重峰消失(该双键上的两个氢), 表明烷基化反应的完成。<sup>13</sup>C NMR数据中,  $\delta$  124.97和109.67处的两个单峰对应新生成的C-5'和C-6'处的烯烃碳。

表1 主要产物及其收率

Table 1 Main products and their yields

底物	产物	25 °C 收率/%	60 °C 收率/%
		72	74
		—	58
		—	52
		—	56

注: “—”代表无产物生成。

### 2.2 类似物I与CBD及V<sub>C</sub>的抗氧化活性比较

以CBD及V<sub>C</sub>为对照, 考察了类似物I的抗氧化活性, 结果见图1~4。由图1可见, CBD及其类似物I和V<sub>C</sub>的DPPH和ABTS自由基清除能力均呈剂量依赖性, 并且类似物I对DPPH和ABTS自由基清除的EC<sub>50</sub>值分别是CBD的23.8%和25.1%(表2), 即抗氧化活性最强, 其他化合物未检出对自由基的清除能力。文献也报道多酚的抗氧化活性随酚羟基的数量增加而增加<sup>[21]</sup>。

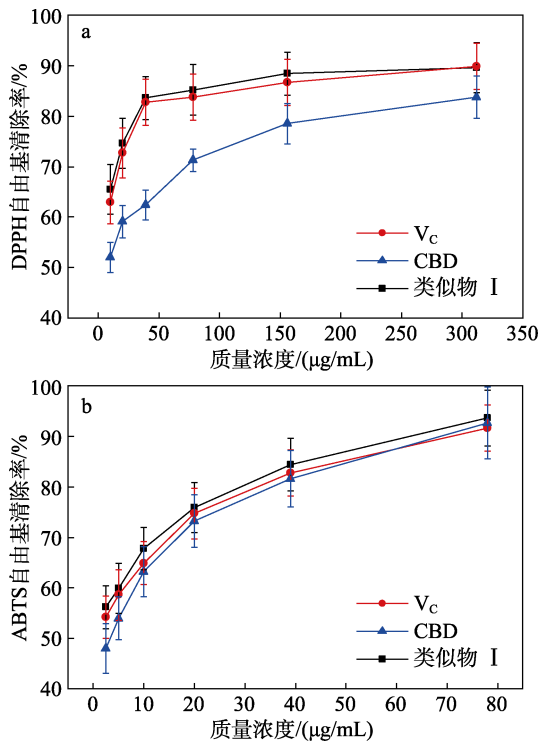


图 1 类似物 I 对 DPPH (a) 和 ABTS (b) 的自由基清除能力

Fig. 1 Scavenging ability of analogue I on DPPH (a) and ABTS (b) free radicals

表 2 类似物 I 对 DPPH 和 ABTS 自由基的 EC<sub>50</sub>

Table 2 EC<sub>50</sub> of analogue I against DPPH and ABTS free radicals

样品	DPPH-EC <sub>50</sub> /(μg/mL)	ABTS-EC <sub>50</sub> /(μg/mL)
V <sub>c</sub>	2.42±0.35	1.36±0.27
CBD	9.15±0.41	4.94±0.38
类似物 I	2.18±0.22	1.24±0.13

此外, 80 °C下抗氧化实验表明(图 2), 类似物 I 和 CBD 抗氧化性的温度稳定性均比 V<sub>c</sub> 的好。

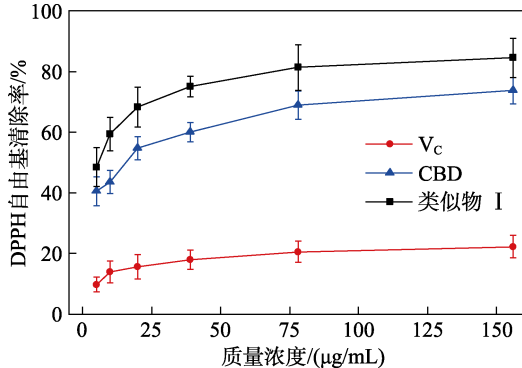


图 2 80 °C下类似物 I 对 DPPH 自由基的清除率

Fig. 2 Scavenging ability of analogue I on DPPH free radicals at 80 °C

CBD 及其类似物的铁离子还原能力和抗脂质

过氧化能力如图 3 所示。相似地, 在 100 μg/mL 下, 化合物 I 的铁离子还原能力强于 CBD, 较 V<sub>c</sub> 稍弱; 而它们的抗脂质过氧化能力接近。化合物 I 具有较多的可置换结构, 或可导致化合物 I 具有比 CBD 更强的抗脂质过氧化作用<sup>[22]</sup>。

由样品对 XOD 的 60 s 抑制率曲线(图 4)得到其 IC<sub>50</sub> 值。表没食子儿茶素没食子酸酯(EGCG)、CBD 和类似物 I 对 XOD 的 IC<sub>50</sub> 值分别为 35.19、50.94 和 39.01 μg/mL, 其抑制力均呈浓度依赖关系; 类似物 I 具有比 CBD 更强的抑制力。

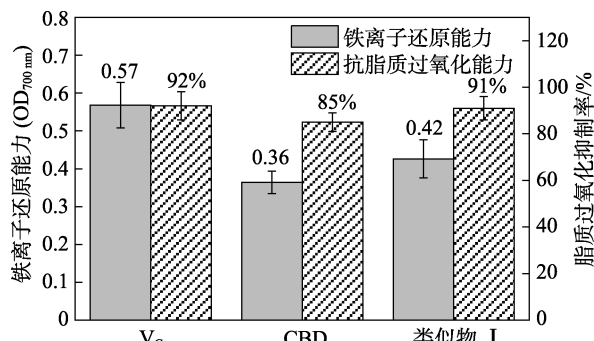


图 3 类似物 I 的铁离子还原能力和抗脂质过氧化能力

Fig. 3 Ferric reducing power and anti-lipid peroxidation activity of analogue I

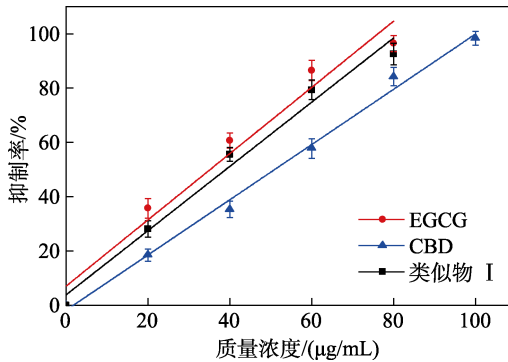


图 4 类似物 I 对 XOD 的抑制能力

Fig. 4 Inhibitory ability of analogue I on XOD

### 2.3 类似物 I 对细菌的抑菌活性

以 CBD 和盐酸四环素为对照, 考察类似物 I 的抑菌活性, 结果见图 5。发现类似物 I 对革兰氏阳性菌(金黄色葡萄球菌、粪肠球菌和蜡状芽孢杆菌)和革兰氏阴性菌(大肠杆菌)均有较好的抑菌和杀菌活性, MIC 和 MBC 值均低于 100 μg/mL。而其他无酚羟基的类似物同样条件下并无抑菌活性, 因而分子中酚羟基的存在可能是其具有抑菌性的关键。多酚通过破坏细胞形态抑制菌体生长<sup>[23]</sup>; 而酚羟基数量并不决定其抑菌性, 例如某些三酚比二酚具有更强的抑菌活性<sup>[24]</sup>, 而 EGCG 的抑菌性不强。

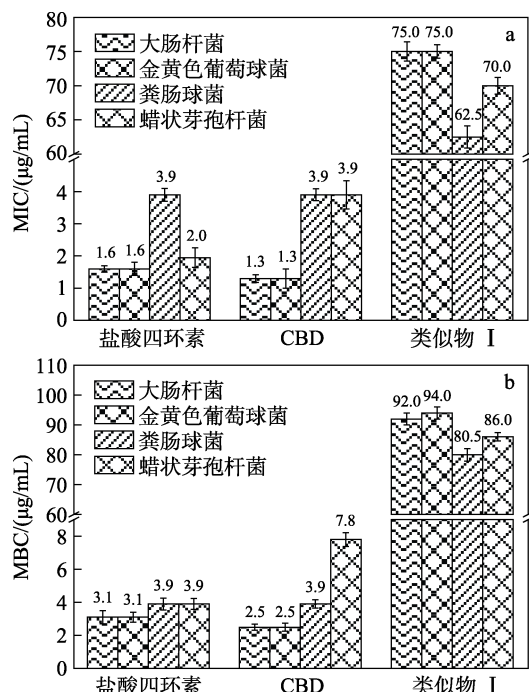


图 5 类似物 I 的 MIC (a) 和 MBC (b)

Fig. 5 MIC (a) and MBC (b) of analogue I

### 3 结论

通过  $\alpha$ -水芹烯与烷基酚的傅克烷基化反应合成了 4 种 CBD 类似物; 并以 8,9-二氢大麻二酚和 2,2,8,9-四氢大麻酚为原料, 通过与烷基溴化物的  $O$ -烷基化反应合成了另外 8 种 CBD 类似物。

类似物 I 由于具有多酚结构, 其抗氧化能力优于 CBD, 其 DPPH 和 ABTS 自由基清除的 EC<sub>50</sub> 分别是 CBD 的 23.8% 和 25.1%, 与 V<sub>C</sub> 接近, 且具有比 V<sub>C</sub> 更好的抗氧化活性的温度稳定性。类似物 I 对大肠杆菌、金黄色葡萄球菌、粪肠球菌和蜡状芽孢杆菌均表现出较好的抑菌活性, MIC 和 MBC 均在 100  $\mu\text{g}/\text{mL}$  以下。

相同条件下, 不含酚羟基的 CBD 类似物既未显示抗氧化性, 对所试细菌也无抑菌活性; 表明酚羟基可能是维持抑菌活性和抗氧化能力的必要条件。

### 参考文献:

- [1] JASTRZAB A, JAROCKA-KARPOWICZ I, MARKOWSKA A, et al. Antioxidant and anti-inflammatory effect of cannabidiol contributes to the decreased lipid peroxidation of keratinocytes of rat skin exposed to UV radiation[J]. Oxidative Medicine and Cellular Longevity, 2021(1): 6647222.
- [2] HAMPSON A J, GRIMALDI M, AXELROD J, et al. Cannabidiol and (-)-delta(9)-tetrahydrocannabinol are neuroprotective antioxidants[J]. Proceedings of the National Academy of Sciences of the United States of America, 1998, 95(14): 8268-8273.
- [3] APPENDINO G, GIBBONS S, GIANA A, et al. Antibacterial cannabinoids from *Cannabis sativa*: A structure-activity study[J]. Journal of Natural Products, 2008, 71(8): 1427-1430.
- [4] WASSMANN S, HJRUP P, KLITGAARD K. Cannabidiol is an effective helper compound in combination with bacitracin to kill Gram-positive bacteria[J]. Scientific Reports, 2020, 10(1): 4112.
- [5] MARTINENGH L D, JONSSON R, LUND T, et al. Isolation, purification, and antimicrobial characterization of cannabidiolic acid and cannabidiol from *Cannabis sativa* L.[J]. Biomolecules, 2020, 10(6): 15.
- [6] WANG Y C (王语聪), XIE Z X (谢智鑫), YANG W M (杨文敏), et al. Separation, purification and antidepressant function of cannabidiol from *Cannabis sativa* leaves[J]. Fine Chemicals (精细化工), 2021, 38(4): 795-800.
- [7] MA H, LI C Y, WANG J P, et al. Amygdala-hippocampal innervation modulates stress-induced depressive-like behaviors through AMPA receptors[J]. Proceedings of the National Academy of Sciences of the United States of America, 2021, 118(6): e2019409118.
- [8] PISANTI S, MALFITANO A M, CIAGLIA E, et al. Cannabidiol: State of the art and new challenges for therapeutic applications[J]. Pharmacology & Therapeutics, 2017, 175(41): 133-150.
- [9] TURA M, MANDRIOLI M, TOSCHI T G. Preliminary study: Comparison of antioxidant activity of cannabidiol (CBD) and alpha-tocopherol added to refined olive and sunflower oils[J]. Molecules, 2019, 24(19): 15.
- [10] RAJAN T S, GIACOPPO S, IORI R, et al. Anti-inflammatory and antioxidant effects of a combination of cannabidiol and moringin in LPS-stimulated macrophages[J]. Fitoterapia, 2016, 112(24): 104-115.
- [11] MECHOULAM R, HANUS L. Cannabidiol: An overview of some chemical and pharmacological aspects. Part I: Chemical aspects[J]. Chemistry and Physics of Lipids, 2002, 121(1/2): 35-43.
- [12] XI G L (席高磊), XU K J (许克静), WANG H W (王宏伟), et al. Antioxidant properties of 4-methyl-7-hydroxycoumarin and derivative [J]. Fine Chemicals (精细化工), 2019, 36(6): 1159-1165.
- [13] SOWMYA R, SACHINDRA N M. Evaluation of antioxidant activity of carotenoid extract from shrimp processing byproducts by *in vitro* assays and in membrane model system[J]. Food Chemistry, 2012, 134(1): 308-314.
- [14] ZILIC S, SERPEN A, AKILLIOGLU G, et al. Phenolic compounds, carotenoids, anthocyanins, and antioxidant capacity of colored maize (*Zea mays* L.) kernels[J]. Journal of Agricultural and Food Chemistry, 2012, 60(5): 1224-1231.
- [15] BENZIEI F F, STRAIN J J. The ferric reducing ability of plasma (FRAP) as a measure of "antioxidant power": The FRAP assay[J]. Analytical Biochemistry, 1996, 239(1): 70-76.
- [16] MAIRA M, SADAT M, LJUBKA T, et al. Antioxidant and prooxidant properties of a polyphenol-rich extract from *Geranium sanguineum* L. *in vitro* and *in vivo*[J]. Phytotherapy Research, 2008, 22(6): 746-751.
- [17] ZHU M, PAN J H, HU X, et al. Epicatechin gallate as xanthine oxidase inhibitor: Inhibitory kinetics, binding characteristics, synergistic inhibition, and action mechanism[J]. Foods, 2021, 10(9): 2191.
- [18] WANG C L (王春莉), CHEN Z Q (陈忠琴), XU L L (徐蕾蕾), et al. Green synthesis of silver nanoparticles with aqueous *Folium Mori* extracts and their antimicrobial and anticancer activities[J]. Fine Chemicals (精细化工), 2021, 38(1): 130-137.
- [19] GROVES J K. The Friedel-Crafts acylation of alkenes[J]. Chemical Society Reviews, 1972, 1(1): 73-97.
- [20] RUEPING M, NACHTSHEIM B. A review of new developments in the Friedel-Crafts alkylation from green chemistry to asymmetric catalysis[J]. Beilstein Journal of Organic Chemistry, 2010, 6: 6.
- [21] RICEEVANS C A, MILLER N J, PAGANGA G. Structure-antioxidant activity relationships of flavonoids and phenolic acids[J]. Free Radical Biology and Medicine, 1996, 20(7): 933-956.
- [22] AL KHOURY A, SLEIMAN R, ATOUI A, et al. Antifungal and anti-aflatoxigenic properties of organs of *Cannabis sativa* L.: Relation to phenolic content and antioxidant capacities[J]. Archives of Microbiology, 2021, 203(7): 4485-4492.
- [23] NOHYNEK L J, ALAKOMI H L, KAHKONEN M P, et al. Berry phenolics: Antimicrobial properties and mechanisms of action against severe human pathogens[J]. Nutrition and Cancer, 2006, 54(1): 18-32.
- [24] TAGURI T, TANAKA T, KOUNO I. Antibacterial spectrum of plant polyphenols and extracts depending upon hydroxyphenyl structure [J]. Biological & Pharmaceutical Bulletin, 2006, 29(11): 2226-2235.